

## 超支化聚缩水甘油的合成及性能参数表征

王宗胜<sup>1,3</sup>, 李少路<sup>2,3</sup>, 张克明<sup>1,3</sup>, 胡云霞<sup>1,2,3\*</sup>

(天津工业大学 1. 环境与化学工程学院, 2. 材料科学与工程学院, 3. 分离膜与膜过程国家重点实验室, 天津 300389)

**摘要:** 以1,1,1-三(羟甲基)丙烷为引发剂、缩水甘油(2,3-环氧-1-丙醇)为单体、无水N-甲基吡咯烷酮为溶剂, 采用阴离子开环聚合、一步法制备了超支化聚缩水甘油(hPG)。通过调控单体与引发剂的投料摩尔比, 成功合成了三种不同分子量的hPG; 通过核磁共振波谱仪、凝胶色谱仪、傅里叶红外光谱仪等手段表征了hPG的文化结构、分子量及分布、化学官能团; 采用差示扫描量热仪、热重分析仪、粒径-电位分析仪等分析了hPG的玻璃化转变温度( $T_g$ )、热降解温度( $T_d$ )及热稳定性和溶液性质等参数。结果表明, 溶剂N-甲基吡咯烷酮的引入有利于hPG分子量的快速增加和单分散性的提升; hPG的 $T_g$ 和 $T_d$ 随着分子量的增加略有增加。

**关键词:** 超支化; 聚缩水甘油; 阴离子开环聚合; 分散指数; 玻璃化转变温度

中图分类号: TQ 35

文献标志码: A

## Synthesis and Properties of Hyperbranched Polyglycidol

WANG Zonghseng<sup>1,2</sup>, LI Shaolu<sup>2,3</sup> ZHANG Keming<sup>1,3</sup>, HU Yunxia<sup>1,2,3\*</sup>

(Tianjin Polytechnic University 1. School of Environmental and Chemical Engineering, 2. School of Material Science and Engineering, 3. State Key Laboratory of Separation Membranes and Membrane Processes, Tianjin 300389, china)

**Abstract:** Hyperbranched polyglycerol (hPG) with controlled molecular weight and narrow polydispersity has been synthesized by a one-step anionic ring-opening polymerization (ROP) reaction, in which monomer glycidol (2,3-epoxy-1-propanol) was added dropwise to the mixture solution of 1,1,1-tris(hydroxymethyl)propane (TMP) initiator, potassium tert-butoxide (K-t-OBu) base, and anhydrous N-methylpyrrolidone solvent, for the prevention of cyclized byproduct. Three different molecular weight hPGs were synthesized through tailoring the initiator/monomer ratio. Various techniques including <sup>1</sup>H-NMR, inverse gated (IG) NMR spectroscopy, gel permeation chromatography (GPC) and fourier transform infrared spectroscopy (FT-IR), were employed to

**收稿日期:** 2018-10-26

**基金项目:** 国家自然科学基金面上项目(21476249); 天津市科技发展计划(17PTSYJC00060)

**作者简介:** 王宗胜(1990-), 男, 河南兰考人, 硕士生, 主要研究方向为复合纳滤膜表面修饰工程及纳滤膜抗污染性能研究。E-mail: wzs1630151200@163.com

**通信联系人:** 胡云霞, E-mail:yunxiah@yic.ac.cn

characterize the chemical structure, degree of branching (DB), molecular weight and polydispersity of the synthesized hPG; differential scanning calorimetry (DSC), thermogravimetric analyzer (TGA), particle size and zeta analyzer were used to analyze their glass transition temperature ( $T_g$ ), thermal stability and solution properties, respectively. Results demonstrate that three hPGs were synthesized with targeted molecular mass (1509 g/mol, 4566 g/mol, 11235 g/mol) and polydispersities in the range of 1.82 to 2.05. Importantly, the solvent N-methylpyrrolidone could help to rapidly increase the molecular weight of hPG during the reaction and to improve its mono-dispersity compared to the non-solvent system. Moreover, the glass transition temperature ( $T_g$ ) and thermal degradation temperature ( $T_d$ ) of hPG was increased slightly with their increasing molecular weight from 1,500 g/mol to 11,200 g/mol.

Key words: hyperbranch; polyglycerol; anionic ring-opening polymerization; dispersity index; glass transition temperature

超支化聚缩水甘油 (hPG) 是介于树枝状大分子和线性聚合物之间, 具有高度支化结构的亲水高分子材料。与线性聚合物相比, 它的流体力学回转半径小以及分子链间缠结少, 并带有大量的末端官能团, 具有较低的熔体或溶液黏度, 在水中具有很高的溶解度, 并呈球形或接近球形的三维纳米结构<sup>[1-2]</sup>。近年来, hPG 因具有良好的生物相容性、抗污染等特性, 被广泛应用于生物医药<sup>[2-9]</sup>、涂料<sup>[10-12]</sup>、染料<sup>[13-14]</sup>、生物黏合剂<sup>[15-16]</sup>、复合光电材料<sup>[17]</sup>、分离膜<sup>[18-21]</sup>等诸多领域, 而合成与制备不同数均分子量的 hPG 将有利于拓宽 hPG 在更多领域的应用。

hPG 通常可通过开环多文化聚合 (ROMBP) 制得。ROMBP 根据聚合机理可分为阴离子开环多文化聚合<sup>[21-24]</sup>、阳离子开环多文化聚合<sup>[25]</sup>和催化开环多文化聚合<sup>[26-28]</sup>等。其中, 通过阳离子开环多文化聚合制得的 hPG 分子量较低, 难于制备出高数均分子量 hPG。而阴离子开环多文化聚合具有工艺较为简便, 产率较高, 并可实现 hPG 数均分子量的可控制备等优势被广泛研究和采用<sup>[29]</sup>。在合成路线上, 阴离子开环多文化聚合合成 hPG 又可通过一步法<sup>[21]</sup>和多步法<sup>[30]</sup>制备。其中, 多步合成法易制备出高数均分子量和低分散性的 hPG, 但它首先需要合成低数均分子量的 hPG, 制备工艺复杂<sup>[31]</sup>; 一步法合成 hPG, 该反应过程分离纯化简单, 产率较高, 成本较低, 易于大规模工业化放大制备<sup>[32]</sup>。在先前的文献报道中, 采用阴离子开环多文化聚合制备 hPG 的方法大多数是在无溶剂或极微量溶剂下进行的, 而这样的反应体系不利于目标 hPG 分子量的快速增加。为此, 本文的创新点是通过将适量无水溶剂 NMP 引入到反应体系中, 可实现目标 hPG 分子量的快速增加, 大大缩短了目标分子量 hPG 的制备时间, 与此同时, 实现大分子量 hPG 的可控制备。

本文采用阴离子开环多文化聚合一步合成制备 hPG, 通过调控引发剂/单体的投料比、溶剂用量等参数合成了三种不同分子量的 hPGs, 通过酸性阳离子交换树脂中和, 除去 hPG 中的  $K^+$ 。此外, 我们通过核磁共振波谱仪氢谱 ( $^1H$ -NMR)、定量碳谱核磁共振波谱仪 ( $^{13}C$ -NMR)、凝胶色谱仪 (GPC)、傅里叶红外光谱仪 (FT-IR) 等表征了 hPG 的支化结构、分子量及其分布, 通过差示扫描量热法 (DSC)、热重分析法 (TGA)

等表征了hPG的热稳定性, 通过纳米粒度Zeta电位分析仪(DLS)表征了hPG水溶液的粒径及表面电位。

## 1 实验部分

### 1.1 原料和试剂

缩水甘油(2, 3-环氧-1-丙醇): 96% (wt. %), Aldrich 公司; 三羟甲基丙烷(TMP): 99 % (wt. %), ACROS 公司; 叔丁醇钾(K-t-OBu)的四氢呋喃溶液: n(K-t-OBu) 1 mol/L, 东京化成工业株式会社; 无水N-甲基吡咯烷酮(NMP)、氢化钙(CaH<sub>2</sub>): 分析纯, 萨恩化学技术(上海)有限公司; 丙酮: 分析纯, 天津市风船化学试剂科技有限公司; 甲醇、无水氯化钙(CaCl<sub>2</sub>)、阳离子交换树脂(弱酸型-IR120): 分析纯, 天津市科密欧化学试剂有限公司。

### 1.2 测试与表征

核磁共振氢谱(<sup>1</sup>H-NMR): 德国布鲁克公司 AVANCE AV 400 MHz 型核磁共振谱仪, 氯仿-d(CD<sub>3</sub>OD)为溶剂, 四甲基硅烷(TMS)为内标; 反转门去偶核磁共振碳谱(<sup>13</sup>C-NMR): 德国布鲁克公司 Bruker AVANCE III 600 型核磁共振谱仪, 氯仿-d(CD<sub>3</sub>OD), 四甲基硅烷(TMS); 凝胶渗透色谱(GPC): 美国马尔文 Shimadzu-LC20/RID-20 型凝胶渗透色谱, 水为溶剂, 聚乙二醇为标样; 红外光谱(FT-IR): 美国赛默飞世尔科技公司 Nicolet iS50 型傅里叶红外转换光谱仪, 采用 KBr 涂膜制样, 测试范围为 400~4000 cm<sup>-1</sup>; 差示扫描量热(DSC): 德国耐驰公司 DSC200F3 型差示扫描量热仪, 氮气保护, 升温速率为 3 °C/min, 测试范围为 -80~150 °C; 热重分析(TGA): 德国耐驰公司 STA449F3 型热重分析, 升温速率为 10 °C/min, 测试范围为 25~800 °C; 纳米粒度-Zeta(DLS): 奥地利 Anton Paar 公司 Litesizer<sup>TM</sup> 500 型纳米粒度-Zeta电位分析仪。

### 1.3 实验过程

1.3.1 缩水甘油的预处理 使用 CaH<sub>2</sub> 对缩水甘油进行过夜干燥处理, 在 50 °C 下进行减压蒸馏纯化, 收集 40~50 °C 下的馏分并密封保存于 0.4 nm 分子筛中, 储存于 4 °C 冰箱。

1.3.2 超支化聚缩水甘油(hPG)的制备 将缩水甘油(2, 3-环氧-1-丙醇), 三羟甲基丙烷(TMP)和无水 N-甲基吡咯烷酮(NMP)按表 1 所示的配比添加至经干燥的反应容器中, 温度设定 65 °C, 并确保反应体系内干燥无氧氛围。随后注入定量无水 NMP、K-t-OBu 的 THF 溶液, 磁力搅拌 1 h 后, 排除反应体系内副产物叔丁醇和 THF。升高温度至 120 °C, 使用微量注射泵以 0.75 mL/min 的速率滴加缩水甘油。滴加完毕后, 继续搅拌 3 h。使用无水甲醇溶解反应产物, 随后经阳离子交换树脂中和, 并将溶液转移至 10 倍体积的丙酮中沉析, 再用甲醇溶解粗产物, 45 °C 下使用旋转蒸发仪除去甲醇, 得到黄色透明的黏稠液体, 经透析袋(截留分子量为 1×10<sup>3</sup>)透析处理, 冷冻干燥, 收集 hPG 样品, 其合成图线如图 1 所示。

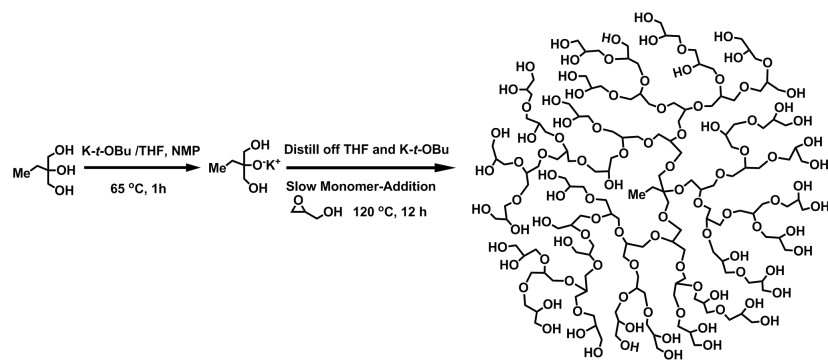


图 1 hPG 的合成线路图

Fig. 1 Synthesis scheme of hPG

表 1. 合成三种不同分子量 hPGs 所需的单体、溶剂及投料量

Table. 1 Monomers and solvent for the synthesis of three different molecule weight hPGs

Sample	n(Glycerol)/ mmol	n(TMP)/ mmol	n(NMP)/ mmol	n(Glycerol): n(TMP): n(NMP)
hPG-1	540	6.75	20	80: 1.00: 2.96
hPG-2	540	5.4	50	100: 1.00: 9.26
hPG-3	540	3.6	100	150: 1.00: 27.78

图 2 为 hPG 的化学结构和文化结构示意图。hPG 的文化结构可通过检测化学位移 60~85 的碳谱信号峰来推断<sup>[32]</sup>, hPG 的线性 1,3 ( $L_{13}$ )、线性 1,4 ( $L_{14}$ )、树枝状 (D)、端基(T)在碳谱中的分布如图 2 (b) 所示, 通过计算公式 (1) 和 (2) 准确计算出 hPG 的聚合度 (DB) 和文化度 ( $DP_n$ ) , 进而计算出 hPG 的数均分子量 ( $M_n$ ) 。

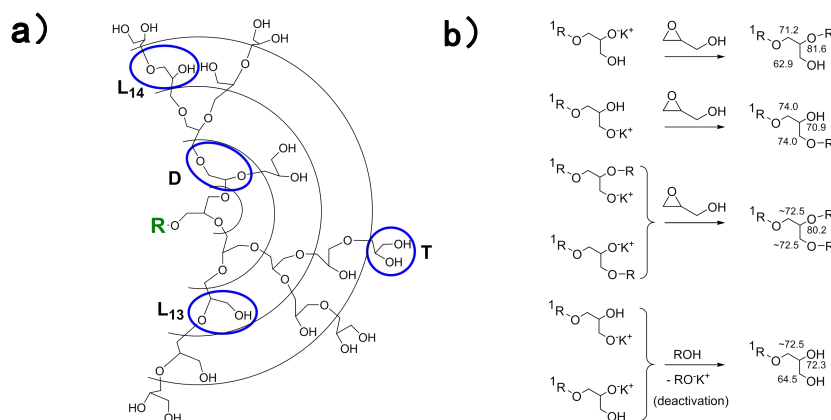
L<sub>13</sub>-Linear1,3; L<sub>14</sub>-Linear1,4; D-Dendritic; T-Terminal; Concentric Linear-Pseudogenerations; R-Core unit

图 2 hPG 的化学结构 (a) 和文化结构 (b) 示意图

Fig. 2 Schematic diagram of chemical structure (a) and branched structure (b) of hPG

$$DB = \frac{2D}{2D + L_{13} + L_{14}} \quad \text{公式 (1)}$$

$$DP_n = \frac{T + L_{13} + L_{14} + D}{T - D} f_c \quad \text{公式 (2)}$$

公式中,  $f_c$ —核心分子的官能度。

## 2 结果与讨论

### 2.1 核磁共振分析

hPG-1 的  $^1\text{H-NMR}$  谱图如图 3 所示, 其中 4.9 处的峰归属于 hPG 链段中的末端羟基特征峰, 3.4~3.9 处的宽峰归属于 hPG 链段中亚甲基和甲基的特征峰, 1.5 处的峰归属于 hPG 链段中的核心位置 TMP 的亚甲基特征峰, 0.9 处的峰归属于 hPG 链段中的核心位置 TMP 的甲基特征峰。这些结果表明 hPG 是以 TMP 为核的支化高分子。

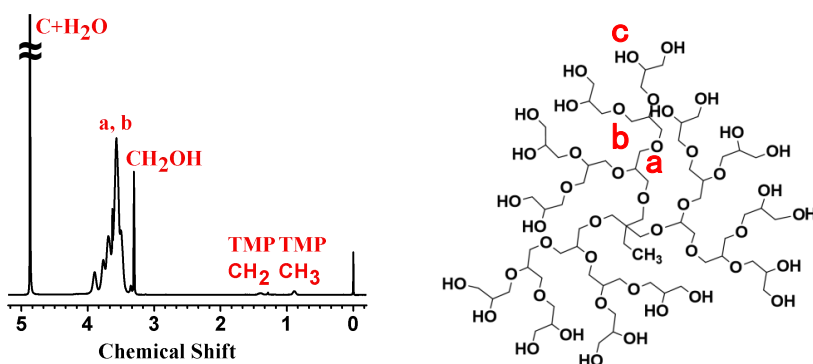


图 3 hPG-1 的  $^1\text{H-NMR}$  谱图

Fig. 3  $^1\text{H-NMR}$  spectrum of hPG-1

图4为三种不同分子量hPGs的核磁共振反转门去偶碳谱图, 由 $^{13}\text{C-NMR}$ 测试结果计算得出的DB、 $DP_n$ 和 $M_n$ 数据如表2所示, DB、 $DP_n$ 和 $M_n$ 随缩水甘油和TMP的增加而增加, 表明三种不同数均分子量hPG的成功合成。结果表明, hPG的 $M_n$ 随着缩水甘油单体与TMP引发剂的投料摩尔比的增加而增加。在反应体系中, 缩水甘油含量越高, 越多的单体可以参与开环反应, 分子量增加越多; 此外, 在添加无水NMP合成hPG的过程中, NMP可以使引发剂更好地溶解与分散, 起到溶剂钝化效应, 有利于控制阴离子开环聚合反应的速率, 使更多缩水甘油单体快速参与到链增长阶段的反应, 有利于目标产物的 $M_n$ 的快速增加, 这与先前文献报道结果一致<sup>[29]</sup>。

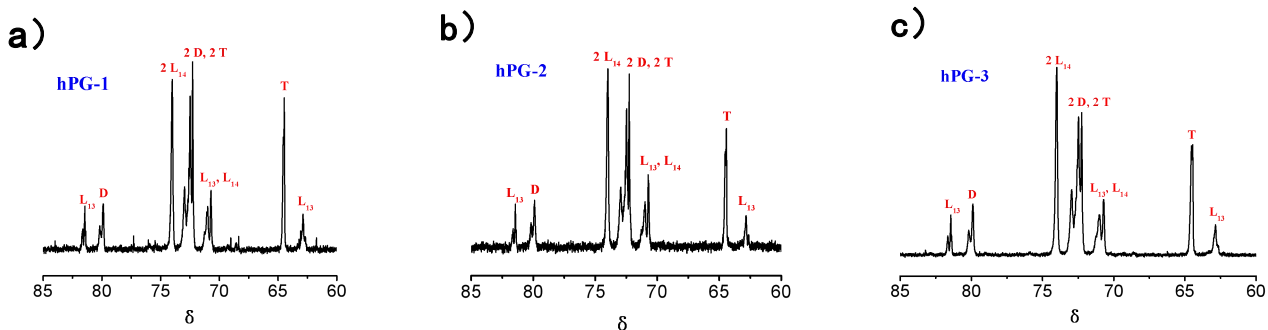


图 4 三种不同分子量 hPGs 的  $^{13}\text{C}$ -NMR 谱图Fig.4  $^{13}\text{C}$ -NMR spectra of three different molecule weight hPGs

## 2.2 GPC 分析

图 5 为三种不同分子量 hPGs 的 GPC 图谱。表 2 为 GPC 测试数据, 由表 2 可知, GPC 测试结果与核磁计算得出的结果有一些差别, 其主要原因可能是 GPC 测试使用线性聚乙二醇作为标样, 其结构与 hPG 相差较大, 导致测试出的 hPG 分子量存在较大误差。 $^{13}\text{C}$ -NMR 测试的  $M_n$  相对较为准确, 此文以  $^{13}\text{C}$ -NMR 测试结果为准进行讨论。此外, 由于每个活性阴离子上的单体增长速率几乎相等, 在 hPG 的合成过程中连续缓慢滴加缩水甘油单体, 有利于提升 hPG 的单分散性, 进而降低其分散度。

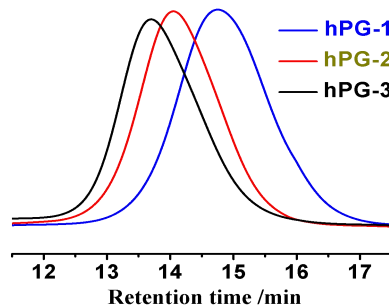


图 5 三种不同分子量 hPGs 的 GPC 谱图

Fig. 5 GPC spectra of three different molecule weight hPGs

表 2 三种不同分子量 hPGs 的结构参数

Table. 2 Structure parameters of three different molecule weight hPGs

Sample	GPC			$^{13}\text{C}$ -NMR		
	$M_n$	$M_w$	PDI	DB	$DP_n$	$M_n$
hPG-1	2000	4200	2.05	0.51	18.75	1509
hPG-2	4800	8700	1.82	0.55	60.00	4566
hPG-3	7400	13600	1.83	0.59	150.00	11235

## 2.3 FT-IR 分析

图 6 为三种不同分子量 hPGs 的 FT-IR 光谱图。如图所示,  $3400\text{ cm}^{-1}$  处为 hPG 的羟基峰,  $1120\text{ cm}^{-1}$  处为 C-O-C 的不对称伸缩振动峰,  $2840\text{ cm}^{-1}$  处-CH<sub>2</sub> 为伸缩振动峰, 表明了 hPG 上含有醚键与羟基结构。进一步研究发现, hPG 随着数均分子量的增加,  $3400\text{ cm}^{-1}$  处的羟基峰逐渐增加,  $2840\text{ cm}^{-1}$  处-CH<sub>2</sub> 的伸缩振动峰逐渐增加,  $1120\text{ cm}^{-1}$  处的 C-O-C 的不对称伸缩振动峰逐渐增加, 表明 hPG 有更高的支化度, 而这样的结果

与<sup>13</sup>C-NMR的测试结果相佐证。

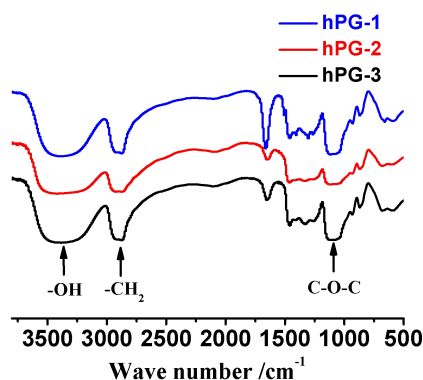


图 6 三种不同分子量 hPGs 的红外光谱图

Fig. 6 FT-IR spectra of three different molecule weight hPGs

#### 2.4 DLS 分析

表 3 为三种不同分子量 hPGs 的 DLS 分析数据。由表 3 可知, hPG 在水中溶解后呈现纳米颗粒的三维结构, 其粒径随着 hPG 的  $M_n$  增加而增大, 并具有良好的单分散性, 分散指数 (PDI) 均在 0.8 以上, 此外, hPG 的平均  $\zeta$  电位均在 0 mv 左右, 表明 hPG 通过阳离子交换树脂交换后, hPG 水溶液呈现电中性, hPG 不会因为高度支化结构而出现电荷聚集效应。

表 3 三种不同分子量 hPGs 的粒径和 Zeta 电位

Table. 3 Size and Zeta Potential of three different molecule weight hPGs

Sample	Size/ nm	PDI	$\zeta$ / mv
hPG-1	3.65	5.97	7.56
hPG-2	0.914	0.932	0.832
hPG-3	0	-1.8	1.9

#### 2.5 热稳定性分析

图 7 (a) 为三种不同分子量 hPGs 的 DSC 图谱。如图 7 (a) 所示, hPG 的  $T_g$  随着  $M_n$  的增加而升高。这是因为 hPG 分子链的逐渐增长, 空间位阻效应更加明显, 进而其运动的阻力增加, 其分子链运动所需的能量提升, 故其  $T_g$  升高。

图 7 (b) 为三种不同分子量 hPGs 的 TGA 图谱。如图 7 (b) 所示, hPG 的  $T_g$  随着  $M_n$  的增加而升高, 这也说明随着分子量的增加, hPG 的热稳定性增加。这是因为随着 hPG 分子链的逐渐增长, hPG 的支化度也逐渐增大, 其热稳定性也随之增加; 此外由于 hPG 分子链上存在大量的末端羟基, 分子内除了存在共价

键以外, 又形成了较多氢键, 致使 hPG 的  $T_g$  升高, hPG 的热分解更困难, hPG 的热稳定性增加。

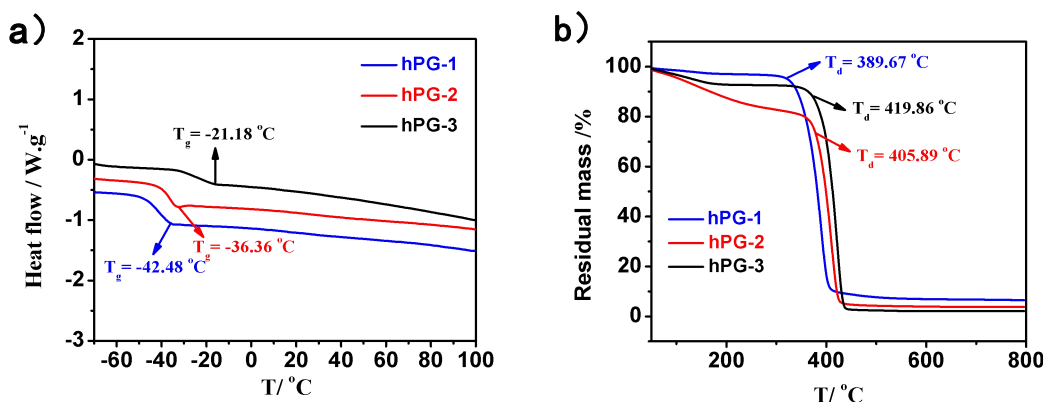


图 7 三种不同分子量 hPGs 的 DSC 和 TGA 谱图

Fig. 7 DSC and TGA spectra of three different molecule weight hPGs

### 3 结 论

- (1) 通过调控反应过程中缩水甘油单体、TMP 引发剂及无水 NMP 的摩尔比例, 成功合成了三种不同分子量的 hPGs (1509 g/mol, 4566 g/mol, 11235 g/mol), hPG 的分子质量随着缩水甘油单体与 TMP 引发剂的投料摩尔比的增加而增加, 其分子量分布 PDI 随着无水 NMP 量的增加略有降低。
- (2) hPG 的  $DP_n$  和 DB 随着缩水甘油单体与 TMP 引发剂的投料摩尔比的增加而增加。此外, 通过  $^{13}C$ -NMR 测试计算得出的 hPG 数均分子量相比于 GPC 测试结果更为准确。
- (3) hPG 水合粒径随着分子质量的增加而增加, 且 hPG 水溶液均呈电中性。
- (4) hPG 的玻璃化转变温度 ( $T_g$ ) 和热降解温度 ( $T_d$ ) 随着分子量的增加略有增加。

### 参考文献:

- [1] ZHENG Y, LI S, WENG Z, et al. Advances from synthesis to applications[J]. Chemical Society Reviews, 2015, 44(12): 4091-4130.
- [2] WILMS D, STIRIBA S-E, FREY H. From the controlled synthesis of biocompatible polyether polyols to multipurpose applications[J]. Accounts of Chemical Research, 2010, 43(1): 129-141.
- [3] HUANG H, LIU M, JIANG R, et al. Fabrication and characterization of hyperbranched polyglycerol modified carbon nanotubes through the host-guest interactions[J]. Materials for Biological Applications, 2018, 91: 458-465.
- [4] SHENOI RA, CHAFEEVA I, LAI BFL, et al. Bioreducible hyperbranched polyglycerols with disulfide linkages: synthesis and biocompatibility evaluation[J]. Journal of Polymer Science, 2015, 53(18): 2104-2115.
- [5] SHENOI R A, LAI B F L. Synthesis, characterization, and biocompatibility of biodegradable hyperbranched polyglycerols from acid-cleavable ketal group functionalized initiators[J]. Biomacromolecules, 2012, 13(10):

3018-3030.

- [6] SHENOI R A, NARAYANANNAIR J K, HAMILTON J L, et al. Variation of ketal group structure enables unprecedented control over polymer degradation in solution and within cells[J]. *Journal of the American Chemical Society*, 2012, 134(36): 14945-14957.
- [7] SON S, SHIN E, KIM B S. Light-responsive micelles of spiropyran initiated hyperbranched polyglycerol for smart drug delivery[J]. *Biomacromolecules*, 2014, 15(2): 628-634.
- [8] WEN J, WEINHART M, LAI B, et al. Reversible hemostatic properties of sulfobetaine/quaternary ammonium modified hyperbranched polyglycerol[J]. *Biomaterials*, 2016, 86:42-55.
- [9] RADES N, LICHA K, HAAG R. Dendritic polyglycerol sulfate for therapy and diagnostics[J]. *Polymers*, 2018, 10(6): 594-605.
- [10] WEI Q, BECHERER T, MUTIHAC R C, et al. Multivalent anchoring and cross-linking of mussel-inspired antifouling surface coatings[J]. *Biomacromolecules*, 2014, 15(8): 3061-3071.
- [11] WEI Q, ACHAZI K, LIEBE H, et al. Mussel-inspired dendritic polymers as universal multifunctional coatings[J]. *Angewandte Chemie*, 2014, 53(43): 11650-11655.
- [12] WEI Q, BECHERER T, NOESKE P L M, et al. A universal approach to cross linked hierarchical polymer multi layers as stable and highly effective antifouling coatings[J]. *Advanced Materials*, 2014, 26(17): 2688-2693.
- [13] SONG Y, DUAN Y, ZHOU L. Multi-carboxylic magnetic gel from hyperbranched polyglycerol for efficient and selective adsorption of methylene blue and methyl violet dyes[J]. *Journal of Colloid and Interface Science*, 2018, 529: 139-149.
- [14] YANG X, LI A, WANG W, et al. Synthesis of polyglycerol mediated covalent construction of a core-satellite superparamagnetic mesoporous carbon nanocomposite[J]. *Journal of Chemical Technology and Biotechnology*, 2018, 93(9): 2635-2643.
- [15] SMITH C E, LEE J, SEO Y, et al. Worm-like superparamagnetic nanoparticle clusters for enhanced adhesion and magnetic resonance relaxivity[J]. *Acs Applied Materials & Interfaces*, 2017, 9(2): 1219-1225.
- [16] MAMINSKI M L, SZYMANSKI R, PARZUCHOWSKI P, et al. Hyperbranched polyglycerols with bisphenol a core as glycerol-derived components of polyurethane wood adhesives[J]. *Bioresources*, 2012, 7(2): 1440-1451.
- [17] WAGENER K, WORM M, PEKTOR S, et al. Comparison of linear and hyperbranched polyether lipids for liposome shielding by F-18-radiolabeling and positron emission tomography[J]. *Biomacromolecules*, 2018, 19(7): 2506-2516.
- [18] LIU Z, AN X, DONG C, et al. Modification of thin film composite polyamide membranes with 3D hyperbranched polyglycerol for simultaneous improvement in their antifouling properties[J]. *Journal of Materials*

Chemistry A, 2017, 5(44): 23190-23197.

- [19] ZHAO Y H, ZHU B K, MA X T, et al. Porous membranes modified by hyperbranched polymers-preparation and characterization of PVDF membrane using hyperbranched polyglycerol as additive[J]. Journal of Membrane Science, 2007, 290(1-2): 222-229.
- [20] LI X, CAI T, CHEN C, et al. Negatively charged hyperbranched polyglycerol grafted membranes for osmotic power generation from municipal wastewater[J]. Water research, 2016, 89: 50-58.
- [21] UTRATA WESOLEK A, WALACH W, BOCHENEK M, et al. Branched polyglycidol and its derivatives grafted-from poly(ethylene terephthalate) and silica as surfaces that reduce protein fouling[J]. European Polymer Journal, 2018, 105: 313-322.
- [22] ALEXANDER SUNDER, RALF HANSELMANN, HOLGER FREY, et al. Controlled synthesis of hyperbranched polyglycerols by ring-opening multibranching polymerization[J]. Macromolecules, 1999, 32: 4240-4246.
- [23] PAULUS F, WEISS MER, STEINHILBER D, et al. Anionic ring-opening polymerization simulations for hyperbranched polyglycerols with defined molecular weights[J]. Macromolecules, 2013, 46(21):8458-8466.
- [24] SEIWERT J, HERZBERGER J, LEIBIG D, et al. Thioether-bearing hyperbranched polyether polyols with methionine-like side-chains[J]. Macromolecular Rapid Communications, 2017, 38(1):740-752.
- [25] MOHAMMADIFAR E, BODAGHI A, DADKHAHTEHRANI A, et al. Green synthesis of hyperbranched polyglycerol at room temperature[J]. Acs Macro Letters, 2017, 6(1): 35-40.
- [26] WU P, FDLDMAN A K, NUGENT A K, et al. Efficiency and fidelity in a click-chemistry route to triazole dendrimers by the copper(i)-catalyzed ligation of azides and alkynes[J]. Angewandte Chemie, 2004, 43(30): 3928-3932.
- [27] MA X, TANG J, SHEN Y, et al. Facile synthesis of polyester dendrimers from sequential click coupling of asymmetrical monomers[J]. Journal of the American Chemical Society, 2009, 131(41): 14795-14803.
- [28] ROSSOW T, HEYMAN J A, EHRLICHER A J, et al. Controlled synthesis of cell-laden microgels by radical-free gelation in droplet microfluidics[J]. Journal of the American Chemical Society, 2012, 134(10): 4983-4989.
- [29] SCHÜLL C, WILMS D, FREY H. Nonlinear macromolecules by ring-opening polymerization[M]. Amsterdam, 2012, 571-596.
- [30] WILMS D, WURM F, NIEBERLE J, et al. Hyperbranched polyglycerols with elevated molecular weights[J]. Macromolecules, 2009, 42(9):3230-3236.
- [31] YAN D, GAO C, FREY. Promising dendritic materials: an introduction to hyperbranched polymers[M]. John

Wiley & Sons, 2011, 8: 847-861.

- [32] RAJESH K K, EDWARD B M, SAWAS G H, et al. Synthesis, characterization and viscoelastic properties of high molecular weight hyperbranched polyglycerols[J]. Macromolecules, 2006, 39(22): 7708-7717.